

4.4.2. Analytické metody

Význam analytických postupů řešení spočívá v tom, že výsledek získáme v obecném tvaru. Při změnách parametrů obvodu pak stačí dosazovat do výsledných vztahů pouze konkrétní hodnoty a řešení již nemusíme opakovat. Potíž je v tom, že řešení nelineárních problémů, se kterými se v praxi setkáváme, vede v naprosté většině případů na rovnice, které řešení v uzavřeném tvaru nemají. Proto se analytických metod používá většinou jen pro demonstraci některých obecných vlastností nelineárních obvodů. Ukážeme to na dvou příkladech.

Příklad 4.3: Vznik vyšších harmonických v nelineárním obvodu

Uvažujeme nelineární rezistor s charakteristikou aproximovanou polynomem n -tého stupně

$$i_p = b_0 + b_1(u - U_Q) + b_2(u - U_Q)^2 + \dots + b_n(u - U_Q)^n,$$

na který bylo přivedeno napětí

$$u = U_Q + U_m \cos \omega t.$$

Pro proud rezistorem pak platí

$$\begin{aligned} i &= b_0 + b_1 U_m \cos \omega t + b_2 U_m^2 \cos^2 \omega t + b_3 U_m^3 \cos^3 \omega t + \dots = \\ &= b_0 + b_1 U_m \cos \omega t + b_2 U_m^2 \frac{1 + \cos 2\omega t}{2} + b_3 U_m^3 \frac{3 \cos \omega t + \cos 3\omega t}{4} + \dots \end{aligned}$$

Výsledný výraz rozdělíme na členy, násobené $\cos k\omega t$, kde $k = 0, 1, 2, \dots, n$.

Pro $k=0$ dostaneme tzv. stejnosměrnou složku, která je konstantní v čase

$$I_0 = b_0 + \frac{1}{2} b_2 U_m^2 + \frac{3}{8} b_4 U_m^4 + \dots$$

Pro $k=1$ dostáváme harmonický průběh s kmitočtem ω stejným jako je kmitočet napájecího napětí. Jde o tzv. **základní** nebo **první harmonickou složku**

$$I_1 \cos \omega t = \left(b_1 U_m + \frac{3}{4} b_3 U_m^3 + \dots \right) \cos \omega t.$$

Dále máme **2. harmonickou**

$$I_2 \cos 2\omega t = \left(\frac{1}{2} b_2 U_m^2 + \frac{1}{2} b_4 U_m^4 + \dots \right) \cos 2\omega t$$

a **vyšší harmonické složky**.

Nelineární prvek způsobil vznik složek proudu s novými kmitočty. Tento jev se dá vyvolat záměrně a využít k **násobení kmitočtu** celým číslem tak, jak je to potřeba např. v rádiových vysílačích nebo kmitočtových ústřednách. Na druhé straně však může jít o jev nežádáný. Vznik vyšších harmonických kmitočtů pak pokládáme za projev tzv. **neharmonického zkreslení** zpracovávaného signálu.

Při podrobnějším rozboru popsané situace dále zjistíme, že

- liché členy polynomu generují liché harmonické složky (liché násobky základního kmitočtu)
- sudé členy polynomu ovlivňují velikost stejnosměrné složky a generují sudé

harmonické

- maximální řád harmonické je roven stupni polynomu n , kterým aproximujeme charakteristiku nelineárního rezistoru.

Příklad 4.4: Vznik kombinačních kmitočtů

Uvažujeme opět rezistor, jehož charakteristika je aproximována polynomem. Napětí na rezistoru je složeno ze stejnosměrné složky a dvou harmonických napětí s rozdílnými amplitudami a kmitočty

$$u = U_Q + U_{m1} \cos w_1 t + U_{m2} \cos w_2 t .$$

Pro jednoduchost se v dalším omezíme na případ, kdy je použito aproximace kvadratickou parabolou, $n=2$. Pro okamžitou hodnotu proudu pak platí

$$i = b_0 + b_1 (U_{m1} \cos w_1 t + U_{m2} \cos w_2 t) + b_2 (U_{m1}^2 \cos^2 w_1 t + 2U_{m1} U_{m2} \cos w_1 t \cos w_2 t + U_{m2}^2 \cos^2 w_2 t)$$

Provedeme úpravy členů obsahujících čtverce a součiny kosinů a rozdělíme výsledek podle kmitočtů. Dostaneme tak

stejnosměrnou složku
$$b_0 + \frac{1}{2} b_2 (U_{m1}^2 + U_{m2}^2),$$

obě základní harmonické
$$b_1 (U_{m1} \cos w_1 t + U_{m2} \cos w_2 t),$$

obě druhé harmonické
$$\frac{1}{2} b_2 (U_{m1}^2 \cos 2w_1 t + U_{m2}^2 \cos 2w_2 t)$$

a navíc dvojici složek s tzv. **kombinačními kmitočty**

$$b_2 U_{m1} U_{m2} [\cos(w_1 + w_2) t + \cos(w_1 - w_2) t].$$

Amplituda složek s kombinačními kmitočty je úměrná součinu amplitud $U_{m1} U_{m2}$. Tyto složky proto existují pouze tehdy, jsou-li jak U_{m1} , tak i U_{m2} různé od nuly.

Nových kmitočtů využíváme při **konverzi kmitočtu** např. ve směšovačích rádiových přijímačů nebo v televizních retranslačních stanicích a dále při procesech **modulace a demodulace**.

Nežádoucím jevem na druhé straně je vznik tzv. **intermodulačního zkreslení** v zesilovačích akustického signálu, které bývá daleko rušivější než zkreslení neharmonické.

Poznámka: Podrobnější rozbor s aproximací polynomem vyššího stupně $n > 2$ ukáže, že kombinační složky mohou mít kmitočty

$$i \cdot w_1 \pm j \cdot w_2 \quad i, j = 1, 2, \dots, n, \quad \text{kde } i + j \leq n.$$

Např. pro $n=4$ můžeme získat kmitočty

$$w_1 \pm w_2, 2w_1 \pm w_2, w_1 \pm 2w_2, 2(w_1 \pm w_2), 3w_1 \pm w_2, w_1 \pm 3w_2.$$

Při analýze složitějších obvodů na základě analytického vyjádření nelineárních charakteristik sestavíme nelineární algebraické (tj. nediferenciální) rovnice a ty pak řešíme pro neznámá napětí a proudy. Řešení těchto rovnic v uzavřeném tvaru je možné jen v těch nejjednodušších případech a i pak je relativně složité, jak ilustruje následující

příklad. V naprosté většině prakticky významných případů však řešení v uzavřeném tvaru neexistuje a obvodové rovnice musíme řešit numericky.

Příklad 4.5:

Ampérovoltová charakteristika nelineárního rezistoru je pro $u \geq 0$ popsána kvadratickým polynomem $i = a_2 u^2$, $a_2 > 0$.

Hledáme proud i a napětí u , je-li rezistor napájen ze zdroje napětí $U_i > 0$ s lineárním vnitřním odporem R_i .

Podle 2. Kirchhoffova zákona platí $u = U_i - i R_i$. Dosadíme za proud, upravíme a dostaneme kvadratickou rovnici

$$u^2 + \frac{1}{a_2 R_i} u - \frac{U_i}{a_2 R_i} = 0$$

s řešením
$$u = -\frac{1}{2a_2 R_i} + \frac{1}{2a_2 R_i} \sqrt{1 + 4a_2 R_i U_i}.$$

(Protože $U_i > 0$, musí být $u > 0$ a proto uvažujeme pouze řešení s kladným znaménkem před odmocninou.)

Je-li v konkrétním případě např. $a_2 = 2AV^{-2}$, $R_i = 10\Omega$, $U_i = 2V$ (konstantní napětí), vypočítáme $u = 0.292214 V$, $i = 0.170779 A$.

Je-li ke konstantní složce napětí zdroje přičteno harmonické napětí s amplitudou $U_m = 1V$ a s kmitočtem ω , tj. $U_i = 2 + \sin \omega t$, okamžitá hodnota napětí zdroje se mění od minimální hodnoty $1 V$ do maximální hodnoty $3 V$ a odpovídající napětí na nelineárním rezistoru a proud v obvodu pak jsou

$$u_{\min} = 0.2V, i_{\max} = 0.18A \text{ a } u_{\max} = 0.363104V, i_{\min} = 0.163690A.$$

Pro průběh napětí v závislosti na čase pak dostaneme

$$u(t) = 0.025[-1 + \sqrt{1 + 160 + 80 \cos \omega t}] = -0.025 + 0.317214 \sqrt{1 + 0.496894 \cos \omega t}.$$

Odmocninu $\sqrt{1+x}$ rozvineme v řadu

$$\sqrt{1+x} = 1 + \frac{1}{2}x - \frac{1}{8}x^2 + \frac{1}{16}x^3 - \frac{5}{128}x^4 + \dots,$$

takže

$$u(t) = 0.292214 + 0.078811 \cos \omega t - 0.019703 \cos^2 \omega t + 0.0098514 \cos^3 \omega t - \dots$$

Napětí $u(t)$ je zkruseno vyššími harmonickými a proud $i(t)$ v důsledku toho také. Sériový odpor R_i způsobí, že řád nejvyšší harmonické není omezen stupněm aproximačního polynomu.

4.4.3. Numerické metody

Numerické metody umožňují řešení nelineárních rovnic elektrických obvodů pomocí počítače. Protože tyto rovnice nemají v obecném případě řešení v uzavřeném tvaru,

používá se při řešení **iteračního postupu**, tj. postupu založeném na postupném přibližování ke konečnému výsledku. Nejdůležitější z těchto metod ukážeme na příkladu řešení nelineární rovnice o jedné neznámé

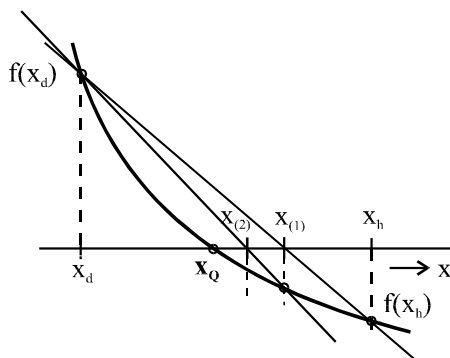
$$f(x) = 0.$$

Hledáme kořen $x = x_Q$, pro který je daná rovnice splněna. O funkci $f(x)$ předpokládáme, že je spojitá a má jen jeden kořen.

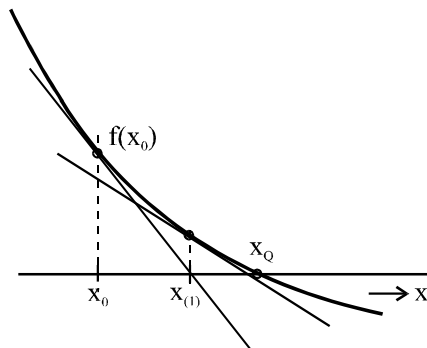
Metoda půlení intervalu je jednoduchá a spolehlivá. Vycházíme z toho, že známe body x_d a x_h , $x_d < x_h$, ve kterých se hodnota funkce $f(x)$ liší znaménkem. Hledaný bod x_Q musí proto ležet mezi dolním a horním okrajem intervalu (x_d, x_h) .

Nalezneme střední bod $x_s = (x_d + x_h)/2$ a vypočítáme v něm funkční hodnotu $f(x_s)$. Podle jejího znaménka rozhodneme, ve které polovině původního intervalu kořen x_Q leží. Dostali jsme tak novou dvojici bodů x_d, x_h . Pokračujeme stejným způsobem tak dlouho dokud absolutní hodnota funkce $f(x)$ nepoklesne pod požadovanou hranici přesnosti řešení.

Metoda sečen, někdy také nazývaná **regula falsi**, vychází rovněž z dvojice bodů x_d, x_h , ohraničujících interval, ve kterém leží hledané řešení. Na obr.4.19a je graficky znázorněn princip metody. Sestavíme rovnici sečny, tj. přímky procházející body $(x_d, f(x_d))$ a $(x_h, f(x_h))$ a vypočítáme souřadnici $x_{(1)}$ jejího průsečíku s osou x . Znaménko hodnoty $f(x_{(1)})$ pak určí, ve kterém dílčím intervalu máme kořen x_Q hledat. Poté vypočteme opět polohu bodu $x_{(2)}$ a funkční hodnotu funkce $f(x_{(2)})$ a dále pokračujeme stejným způsobem opět tak dlouho, pokud je to nutné.



Obr.4.19a



Obr.4.19b

Velmi účinná je **Newtonova metoda tečen** (často nazývaná Newtonova - Raphsonova). Na rozdíl od metody půlení intervalu nebo metody regula falsi vychází z jediného počátečního bodu $(x_0, f(x_0))$ na křivce $f(x)$. Průsečík tečny ke křivce v tomto bodě s osou x označíme jako $x_{(1)}$ a pokládáme jej za výchozí bod dalšího řešení.

Platí zřejmě

$$\Delta x_{(1)} = x_{(1)} - x_0 = -\frac{f(x_0)}{f'(x_0)}, \quad (4 - 31)$$

kde $f'(x_0)$ je hodnota derivace $\frac{df(x)}{dx}$ v bodě $x = x_0$.

Proto

$$x_{(1)} = x_0 + \Delta x_{(1)} = x_0 - \frac{f(x_0)}{f'(x_0)}, \quad (4 - 32)$$

$$x_{(2)} = x_{(1)} + \Delta x_{(2)} = x_{(1)} - \frac{f(x_{(1)})}{f'(x_{(1)})}, \text{ atd.}, \quad (4 - 33)$$

obecně v i -tém kroku iterace

$$x_{(i)} = x_{(i-1)} - \frac{f(x_{(i-1)})}{f'(x_{(i-1)})}. \quad (4 - 34)$$

Řešíme-li soustavu n nelineárních rovnic

$$\begin{aligned} f_1(x_1, x_2, \dots, x_n) &= 0, \\ f_2(x_1, x_2, \dots, x_n) &= 0, \\ &\dots \\ f_n(x_1, x_2, \dots, x_n) &= 0 \end{aligned} \quad (4 - 35)$$

neboli

$$\mathbf{f}(\mathbf{x}) = \mathbf{0}, \quad (4 - 36)$$

kde \mathbf{f} je vektorová funkce,

\mathbf{x} je vektor neznámých řešení $x_{1Q}, x_{2Q}, \dots, x_{nQ}$

$\mathbf{0}$ je nulový vektor,

vektor oprav $\Delta \mathbf{x}$ získáme řešením lineární rovnice

$$\mathbf{J} \cdot \Delta \mathbf{x} = -\mathbf{f}(\mathbf{x}), \quad (4 - 37)$$

kde

$$\mathbf{J} = \frac{\mathcal{J} \mathbf{f}(\mathbf{x})}{\mathcal{J} \mathbf{x}} \text{ je tzv. jakobián soustavy, tj. čtvercová matice } n \times n, \text{ jejíž prvek v}$$

i -tém řádku a j -tém sloupci je roven parciální derivaci $\frac{\mathcal{J} f_i}{\mathcal{J} x_j}$.

Poznámka:

Řešíme-li obvod metodou uzlových napětí, je jakobián roven **admitanční matici obvodu**, ve kterém vystupují **dynamické vodivosti** nelineárních prvků, tj. jejich linearizované parametry, určené v aktuálních pracovních bodech.

Příklad 4.6: Iterační řešení obvodu s diodou, jehož schéma je na obr.4.20a

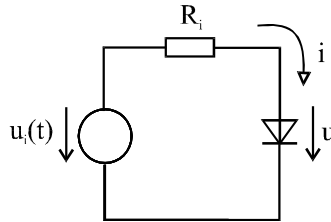
Parametry $U_i = 2V, R_i = 100\Omega$, charakteristika diody $i = I_s e^{au} = 10^{-12} e^{40u}$.

Rovnice obvodu jsou:

$$-U_i + R_i I_s e^{au} + u = f(u) = 0$$

$$f(u) = -2 + 10^{-10} e^{40u} + u$$

$$f'(u) = 1 + 4 \cdot 10^{-9} e^{40u}$$



Obr.4.20a

Vyjdeme z počátečního odhadu napětí na diodě $u_0 = 0.6V$.

1. krok iterace

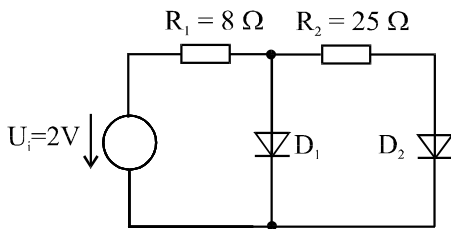
$$\Delta u_{(1)} = -\frac{f(u_0)}{f'(u_0)} = -\frac{1.2489}{106.96} = -0.0116767V, \quad u_{(1)} = 0.5883V$$

2. krok iterace vede na $u_{(2)} = 0.5846V$,

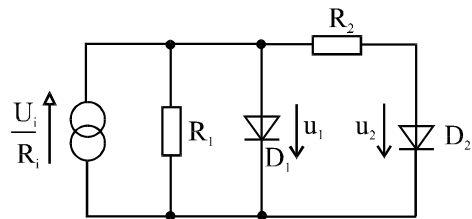
konečné řešení s přesností na 4 platná místa je $u_Q = 0.5843V, i_Q = 0.01416A$.

Příklad 4.7: Iterační řešení složitějšího obvodu se dvěma diodami z obr.4.20b.

Obvod budeme řešit metodou uzlových napětí. Proto zdroj napětí U_i v sérii s R_1 nahradíme ekvivalentním zdrojem proudu. Řešíme pak obvod na obr.4.20c. Charakteristiky obou diod jsou aproximovány vztahem $i = 10^{-12} e^{40u}$.



Obr.4.20b



Obr.4.20c

Rovnice pro uzlová napětí vycházejí z 1. Kirchhoffova zákona pro proudy v obou nezávislých uzlech

$$\frac{1}{R_1}u_1 + \frac{1}{R_2}(u_1 - u_2) + I_s e^{au_1} - \frac{U_i}{R_1} = f_1(u_1, u_2) = 0$$

$$\frac{1}{R_2}(u_2 - u_1) + I_s e^{au_2} = f_2(u_1, u_2) = 0$$

Linearizované rovnice v maticovém tvaru jsou

$$\begin{bmatrix} G_1 + G_2 + aI_s e^{au_1(i-1)} & -G_2 \\ -G_2 & G_2 + aI_s e^{au_2(i-1)} \end{bmatrix} \times \begin{bmatrix} \Delta u_1(i) \\ \Delta u_2(i) \end{bmatrix} = \begin{bmatrix} -f_1(u_1(i-1), u_2(i-1)) \\ -f_2(u_1(i-1), u_2(i-1)) \end{bmatrix}.$$

V jazyku MATLAB můžeme úlohu zapsat např. takto:

```
% Iterativni reseni prikkladu se dvema diodami
G1=1/8; G2=1/25; Ui=2; % parametry obvodu
a=40; Is=1e-12;
u=[0.7;0.7]; % pocatecni odhad uzlovych
napeti
delta_u=[1000;1000]; % pocatecni stav vektoru
oprav
iter=0; % pocitadlo iteraci
while max(abs(delta_u))>0.0001 % zacatek iteracniho cyklu
    iD1=Is*exp(a*u(1)); % proudy diod
    iD2=Is*exp(a*u(2));
    mat=[G1+G2+a*iD1, -G2; -G2, G2+a*iD2]; % matice soustavy
% prave strany
    b=[-(G1*u(1)+G2*(u(1)-u(2))+iD1-G1*Ui); ...
        -(G2*(u(2)-u(1))+iD2)];
    delta_u=mat\b; % vypocet opravy
    u=u+delta_u; % opravena napeti
    iter=iter+1; % pocitej iterace
end
format long % format zobrazeni vysledku
iter % celkovy pocet iteraci
u % vysledna napeti
```

Vycházíme-li z počátečního odhadu $u_1=u_2=0,7$ V, je výsledné řešení po 9 iteracích

$$u_{1Q} = 0,645805 [V], \quad u_{2Q} = 0,551321 [V].$$